

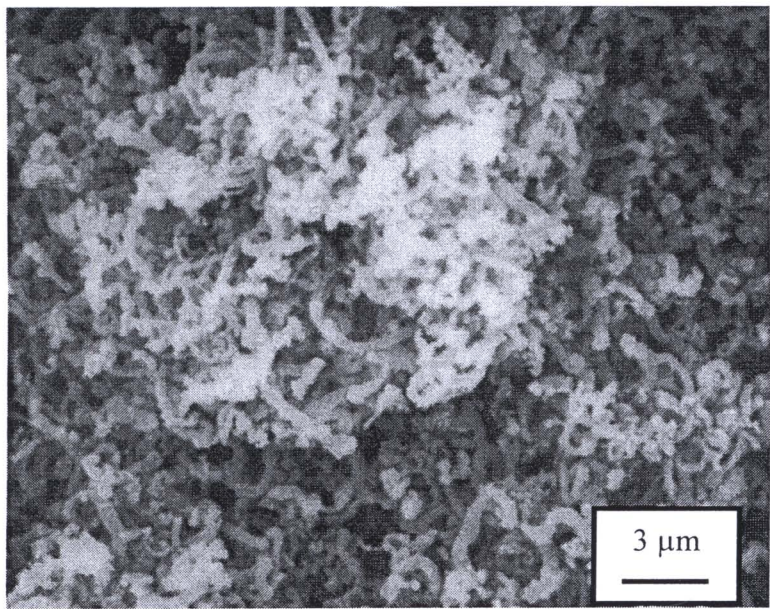
## บทที่ 4

### ผลการวิจัย

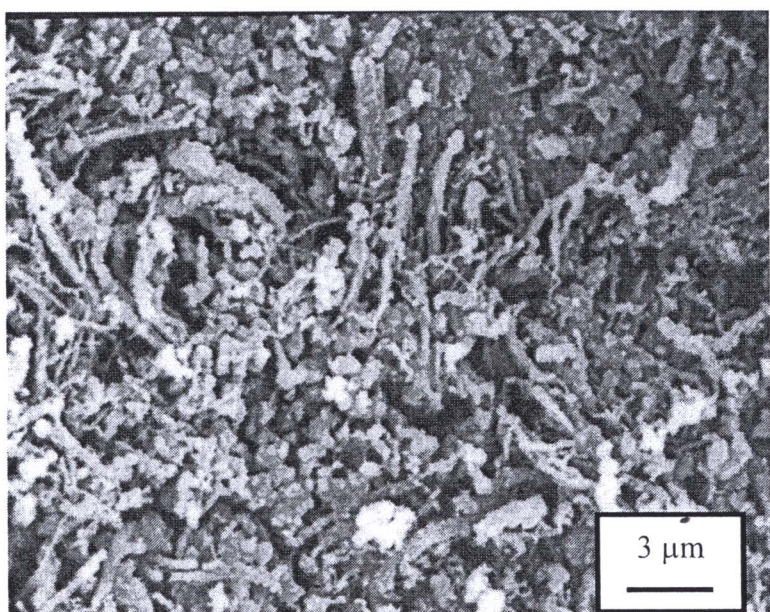
#### 4.1. ผลการวิเคราะห์โครงสร้างของอนุภาคคาร์บอนระดับนาโนเมตรที่สังเคราะห์ได้

ภายหลังจากการทดลองทำการสังเคราะห์อนุภาคcarbonระดับนาโนเมตร คณะผู้วิจัยพบว่ามีผลิตภัณฑ์ซึ่งมีลักษณะเป็นอนุภาคสีดำเกาะเป็นชั้นฟิล์มอยู่บนผนังห้องทดลอง คณะผู้วิจัยจึงทำการเก็บตัวอย่างของอนุภาคที่กระจายตัวอยู่ในบริเวณส่วนต่างๆ ของห้องปฏิกรณ์ที่ใช้สังเคราะห์อนุภาคcarbonระดับนาโนเมตร จากนั้นจึงนำพิเศษสำหรับการสังเคราะห์ SEM และ TEM เพื่อตรวจสอบลักษณะรูปร่างของอนุภาคที่สังเคราะห์โดยได้ผลการวิเคราะห์ดังนี้

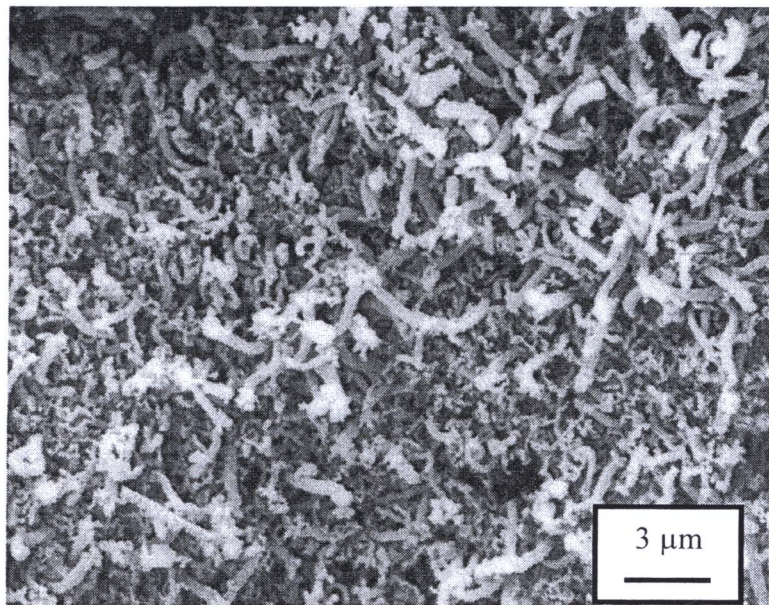
จากการศึกษาพบว่า เมื่อทำการสังเคราะห์โดยใช้อัตราส่วนโดยไม่ระบุว่าก็ต้องลดต่อเฟอร์โรซีนเป็น 5 ต่อ 1 และอัตราการไอลของก๊าซอาร์กอน 50 มิลลิลิตรต่อนาที อุณหภูมิที่ใช้ในการไฟโรไลซิส 850 องศาเซลเซียส เมื่อวิเคราะห์ลักษณะสัมฐานด้วยเทคนิค SEM ได้ผลดังรูปที่ 4.1 พนที่碳carbonระดับนาโนเมตรที่มีขนาดเส้นผ่านศูนย์กลางประมาณ 300-500 นาโนเมตร ซึ่งเป็นท่อคาร์บอนที่มีขนาดใหญ่ไม่นับว่าเป็นท่อคาร์บอนระดับนาโนเมตร เนื่องจากเป็นที่ยอมรับกันว่าท่อที่มีขนาดเล็กกว่า 100 นาโนเมตร จึงจะจัดว่าเป็นท่อคาร์บอนระดับนาโนเมตร แต่เมื่อเพิ่มอุณหภูมิที่ใช้ในการสังเคราะห์เป็น 1000 และ 1200 องศาเซลเซียสตามลำดับ โดยควบคุมสภาวะให้ตัวแปรอื่นคงที่พบว่ามีท่อคาร์บอนที่มีเส้นผ่านศูนย์กลางขนาดประมาณ 100-500 นาโนเมตร ซึ่งเมตรกระยะตัวไม่เป็นระเบียบ ดังแสดงในภาพที่ 4.2 และ 4.3 ตามลำดับ จากผลการทดลองจะสังเกตได้ว่าไม่ว่าทำการปรับอุณหภูมิในการไฟโรไลซิสที่ 850 1000 หรือ 1200 องศาเซลเซียส ผลิตภัณฑ์ที่ได้ จะมีขนาดที่ใหญ่กว่า 100 นาโนเมตรทั้งสิ้น



รูปที่ 4.1 SEM ไมโครกราฟของอนุภาคคาร์บอนระดับนาโนเมตรที่สังเคราะห์ได้ที่คำแนะนำต้นท่อที่อุณหภูมิ 850 องศาเซลเซียสอัตราส่วนโดยไม่ระบุว่าจะกลีเซอรอลต่อเฟอร์โรซีนเป็น 5 ต่อ 1 อัตราการไอลก้าซาร์กอน เป็น 50 มิลลิลิตรต่อน้ำที่



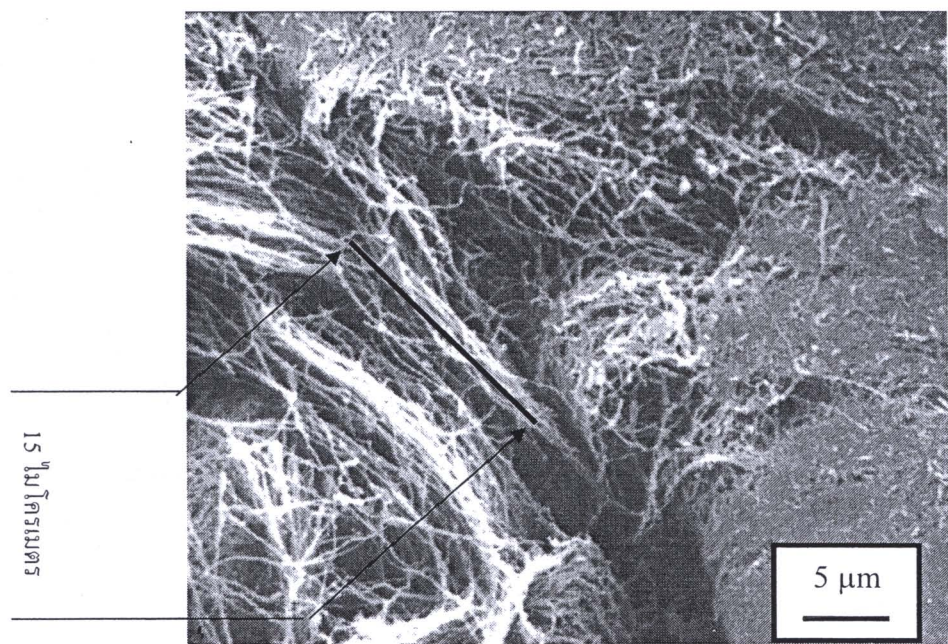
รูปที่ 4.2 SEM ไมโครกราฟของอนุภาคคาร์บอนระดับนาโนเมตรที่สังเคราะห์ได้ที่คำแนะนำต้นท่อ ที่อุณหภูมิ 1000 องศาเซลเซียส อัตราส่วนโดยไม่ระบุว่าจะกลีเซอรอลต่อเฟอร์โรซีนเป็น 5 ต่อ 1 อัตราการไอลก้าซาร์กอนเป็น 50 มิลลิลิตรต่อน้ำที่



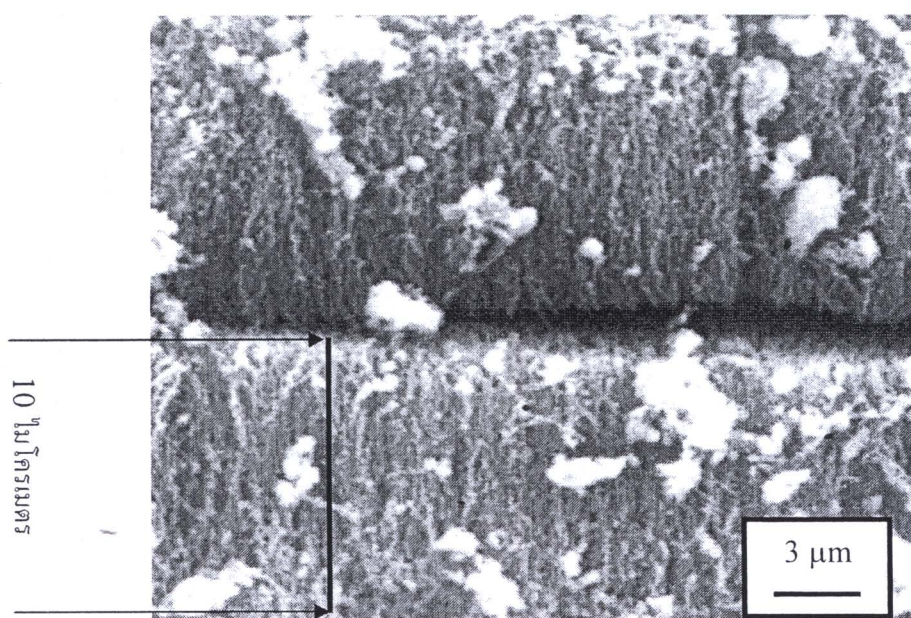
รูปที่ 4.3 SEM ไมโครกราฟของอนุภาคการ์บอนระดับนาโนเมตรที่สังเคราะห์ได้ ที่ตำแหน่งต้นท่อที่อุณหภูมิ 1200 องศาเซลเซียส อัตราส่วนโดยไม่ระบุว่างก็ใช้อัตราส่วนต่อเฟอร์โรซีนเป็น 5 ต่อ 1 และอัตราการไอลักษณะก้อนเป็น 50 มิลลิลิตรต่อน้ำที่

เมื่อทำการสูบตัวอย่างผลิตภัณฑ์ที่อยู่ในช่วงกลางท่อ โดยในการสังเคราะห์ใช้สักส่วนโดยไม่ลงก็ใช้อัตราส่วนต่อเฟอร์โรซีนเป็น 5 ต่อ 1 และอัตราการไอลักษณะก้อนเป็น 50 มิลลิลิตรต่อน้ำที่ จากผลการวิเคราะห์ลักษณะรูปร่างผลิตภัณฑ์พบว่า ที่อุณหภูมิการไฟโรไอลซิส 850 องศาเซลเซียส พบผลิตภัณฑ์ที่สังเคราะห์ได้มีลักษณะเป็นเส้นละเอียดโดยมีขนาดสม่ำเสมอใกล้เคียงกัน มีการกระจายตัวดีโดยมีขนาดเส้นผ่านศูนย์ที่วัดจากภาพถ่ายประมาณ 20-40 นาโนเมตร มีความยาวประมาณ 15 ไมโครเมตร อนุภาคที่สังเคราะห์ได้ค่อนข้างบริสุทธิ์ ดังแสดงในรูปที่ 4.4 ทั้งนี้จากภาพถ่าย SEM เรายังไม่สามารถสรุปในทันทีว่าอนุภาคที่สังเคราะห์ได้นี้เป็นท่อคาร์บอนระดับนาโนเมตร หรือเป็นเส้นใยคาร์บอนระดับนาโนเมตร ดังนั้นจึงจำเป็นต้องตรวจวิเคราะห์ยืนยันด้วยเทคนิค TEM ซึ่งจะทำให้ทราบถึงลักษณะภายในว่าเป็นท่อกลวงหรือไม่ต่อไป [10]

เมื่อได้ทำการเพิ่มอุณหภูมิในการไฟโรไอลซิสเป็น 1000 องศาเซลเซียส โดยใช้เงินไขตัวแปรอื่นๆ คงเดิม จากผลการวิเคราะห์พบว่า ยังสามารถสังเคราะห์ท่อคาร์บอนระดับนาโนเมตรได้ เช่นเดียวกัน แต่มีลักษณะของท่อคาร์บอนระดับนาโนเมตรที่แตกต่างไป กล่าวคือ ท่อคาร์บอนระดับนาโนเมตรที่ได้มีขนาดเส้นผ่านศูนย์กลางประมาณ 20 - 30 นาโนเมตร และยาวประมาณ 10 ไมโครเมตร และมีการจัดเรียงตัวของท่อคาร์บอนระดับนาโนเมตรอย่างเป็นระเบียบ โดยขนาดเส้นผ่านศูนย์กลางที่สม่ำเสมอ และพบนุภาคที่มีสัมฐานกลมเลื่อนเล็กน้อยดังรูปที่ 4.5

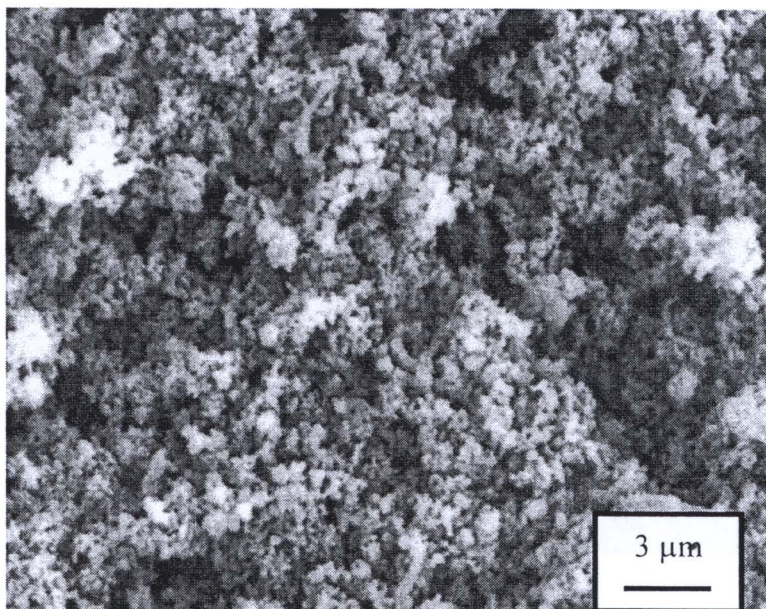


รูปที่ 4.4 SEM ไมโครกราฟของ อนุภาคการ์บอนระดับนาโนเมตรที่สังเคราะห์ได้ ที่ดำเนินการทดลอง อุณหภูมิ 850 องศาเซลเซียส อัตราส่วนโดยไม่ระบุว่างกลีเซอรอลต่อเฟอร์โรซีนเป็น 5 ต่อ 1 อัตราการไหลดก๊าซอาร์กอน เป็น 50 มิลลิลิตรต่อนาที

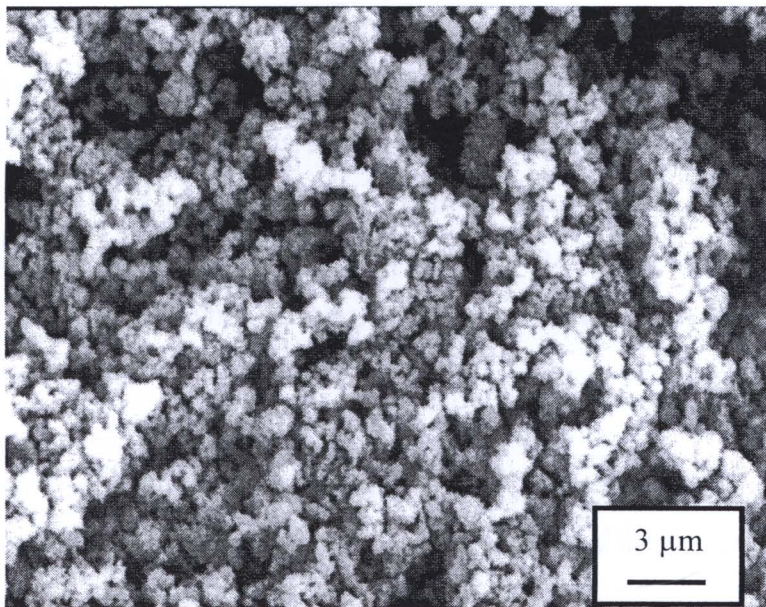


รูปที่ 4.5 SEM ไมโครกราฟของ อนุภาคการ์บอนระดับนาโนเมตรที่สังเคราะห์ได้ ดำเนินการทดลอง ที่ อุณหภูมิ 1000 องศาเซลเซียส อัตราส่วนโดยไม่ระบุว่างกลีเซอรอลต่อเฟอร์โรซีนเป็น 5 ต่อ 1 อัตราการไหลดก๊าซอาร์กอน เป็น 50 มิลลิลิตรต่อนาที

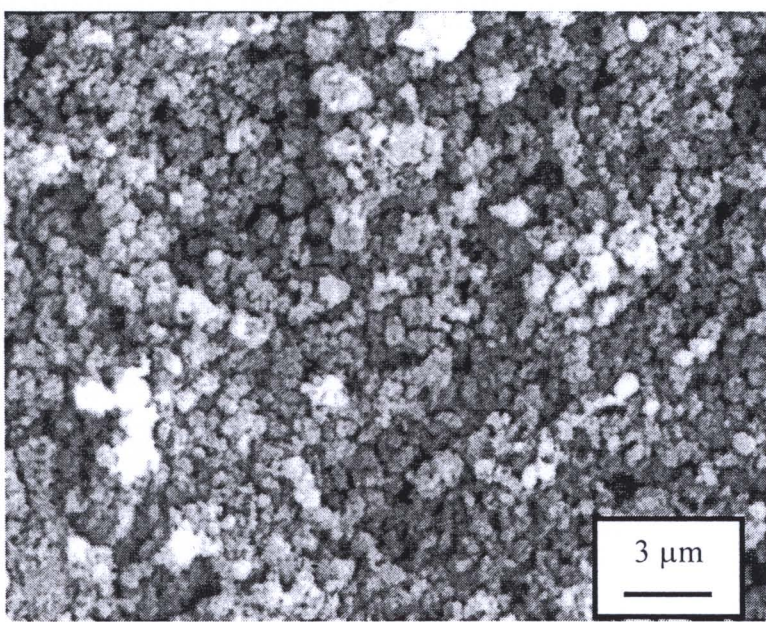
เมื่อเพิ่มอุณหภูมิในการไฟโรไลซิสสูงจนถึง 1200 องศาเซลเซียส พบว่าไม่มีอนุภาคสีดำสะสมอยู่ที่บริเวณกลางห้องท่อ covariance เลย จากผลการทดลองนี้ ทำให้สามารถสันนิษฐานได้ว่า ที่อุณหภูมิ 1200 องศาเซลเซียสนั้น อะตอมของคาร์บอนมีพลังงานสูงเกินไปเนื่องจากอุณหภูมิของเตาไฟฟ้าที่สูง ทำให้อัตโนมัติของคาร์บอนไม่สามารถเกิดปฏิกิริยาที่ตำแหน่งกลางห้อง แต่จะระเหยล่องลอยไปจนถึงตำแหน่งปลายห้อง covariance และไม่สามารถเกิดปฏิกิริยาการก่อตัวเป็นอนุภาคคาร์บอนระดับนาโนเมตรได้ [7] แต่ทั้งนี้ก็ยังพบว่ามีผลิตภัณฑ์จำนวนมากที่บริเวณปลายห้อง covariance และเมื่อนำเอาอนุภาคคาร์บอนที่สังเคราะห์ได้บริเวณปลายห้อง covariance มาวิเคราะห์ พบว่าที่อุณหภูมิการไฟโรไลซิสเป็น 850 องศาเซลเซียส อนุภาคจะมีลักษณะเป็นกลุ่มก้อนแกะตัวกันอย่างหลวມๆ โดยแต่ละอนุภาคนั้นมีลักษณะกลมแตกต่างจากช่วงเด่นท่อและกลางห้องท่อที่มีลักษณะเป็นเด็น และมีขนาดเด่นผ่านศูนย์กลางห้องท่อ ได้จากการพัฒนา SEM ประมาณ 50 นาโนเมตร ดังแสดงในรูปที่ 4.6 ซึ่งการวิเคราะห์ด้วยเทคนิค SEM นี้ยังบอกแนวชัดไม่ได้ว่าอนุภาคที่มีลักษณะเป็นก้อนกลุ่มนี้จะเป็นอนุภาคคาร์บอนระดับนาโนเมตรชนิดใด ดังนั้นจำเป็นต้องทำการวิเคราะห์ด้วยเทคนิค TEM เพื่อยืนยันชนิดของอนุภาคคาร์บอนระดับนาโนเมตรที่สังเคราะห์ได้



รูปที่ 4.6 SEM ใบโทรศัพท์ของ อนุภาคคาร์บอนระดับนาโนเมตรที่สังเคราะห์ได้ ที่ตำแหน่งปลายห้องท่อ ที่อุณหภูมิ 850 องศาเซลเซียส อัตราส่วนโดยไมโครออลต่อเฟอร์โรซีนเป็น 5 ต่อ 1 อัตรา การไฟลก้าซาร์กอนเป็น 50 มิลลิลิตรต่อนาที



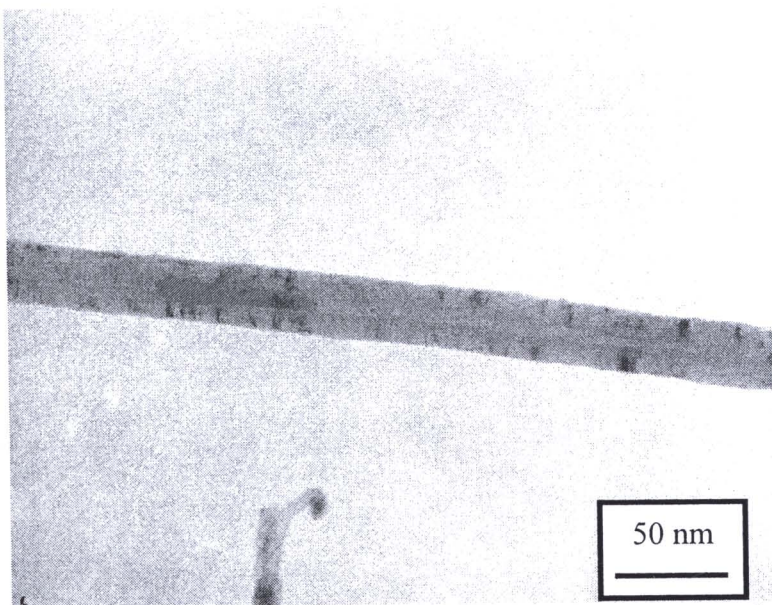
รูปที่ 4.7 SEM ไมโครกราฟของอนุภาคคาร์บอนระดับนาโนเมตรที่สังเคราะห์ได้ ที่ตัวแทนง่ายท่อ ที่อุณหภูมิ 1000 องศาเซลเซียส อัตราส่วนโดยประมาณระหว่างกลีเซอรอลต่อเฟอร์โรซีนเป็น 5 ต่อ 1 และอัตราการไหหลักชาร์กอนเป็น 50 มิลลิลิตรต่อนาที



รูปที่ 4.8 SEM ไมโครกราฟของอนุภาคคาร์บอนระดับนาโนเมตรที่สังเคราะห์ได้ ที่ตัวแทนง่ายท่อ ท่อ ที่อุณหภูมิ 1200 องศาเซลเซียส อัตราส่วนโดยประมาณระหว่างกลีเซอรอลต่อเฟอร์โรซีนเป็น 5 ต่อ 1 อัตราการไหหลักชาร์กอนเป็น 50 มิลลิลิตรต่อนาที

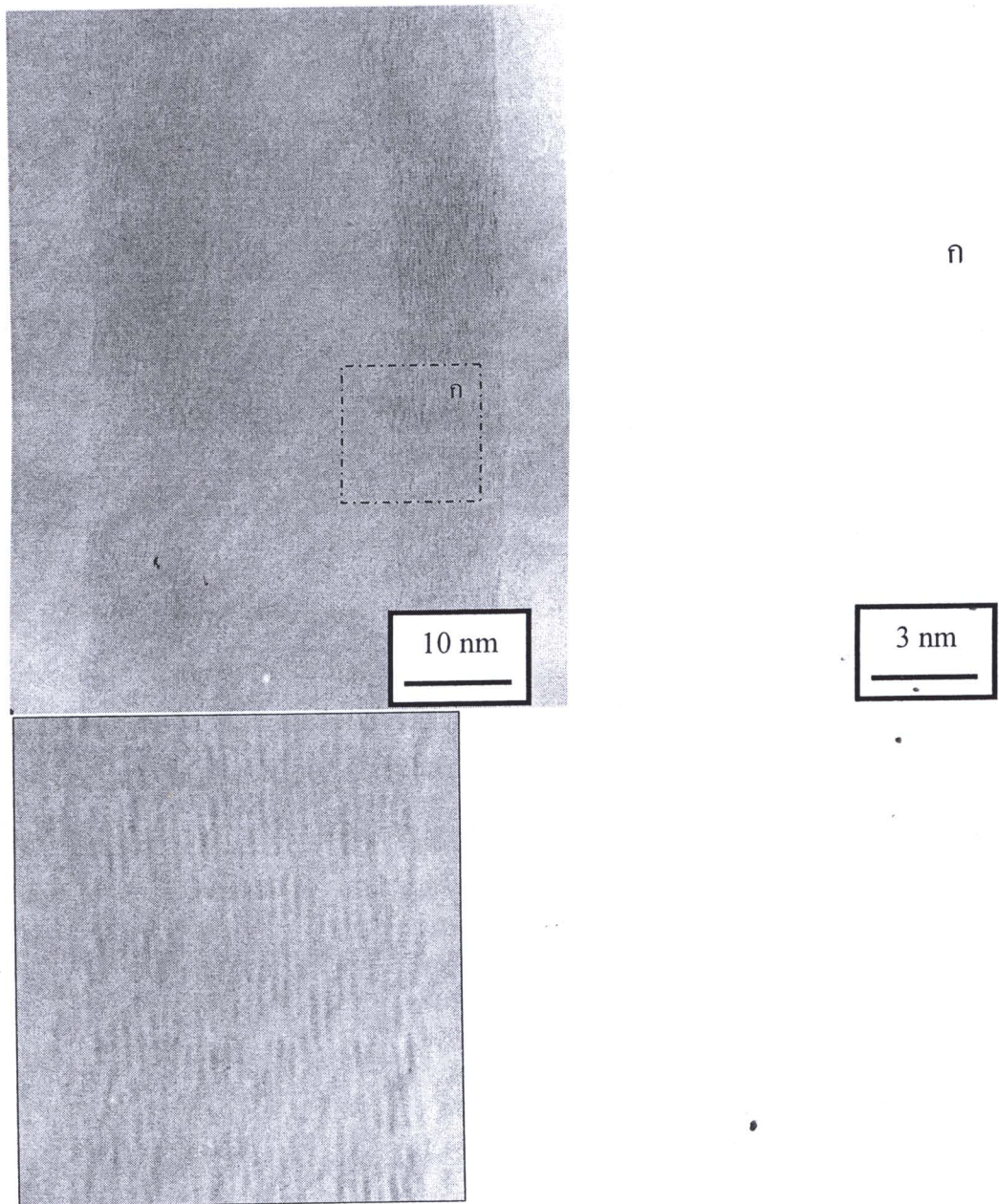
จากผลการทดลองดังกล่าว ทำให้เกิดความเข้าใจว่า เมื่อปรับอุณหภูมิการไฟโรไอลซิสเพิ่มขึ้นเป็น 1000 และ 1200 องศาเซลเซียส พบร่วมผลิตภัณฑ์ที่สั่งเคราะห์ได้ส่วนใหญ่จะกระจายอยู่ที่บริเวณปลายหัวค้อนที่เป็นส่วนใหญ่ ในขณะที่บริเวณกลางหัว และต้นหัวมีผลิตภัณฑ์น้อยมาก ทั้งนี้ผลิตภัณฑ์ที่สั่งเคราะห์ได้มีลักษณะสัญญาณกลม และมีขนาดของอนุภาคใหญ่ขึ้น และเก้าอี้กันอย่างหนาแน่นขึ้นเมื่อใช้อุณหภูมิในการไฟโรไอลซิสเพิ่มสูงขึ้น ดังรูปที่ 4.7 และ 4.8 แสดงถึงอนุภาคการรับอนระดับนาโนเมตรที่พบบริเวณปลายหัวค้อนที่อุณหภูมิไฟโรไอลซิส 1000 และ 1200 องศาเซลเซียสตามลำดับ

ทั้งนี้ผลการวิเคราะห์ด้วยเทคนิค SEM ทำให้ทราบถึงลักษณะรูปร่างภายนอกของอนุภาคการรับอนที่สั่งเคราะห์ได้เท่านั้น ดังนั้นคณะผู้วิจัยจึงนำตัวอย่างผลิตภัณฑ์ที่สั่งเคราะห์ได้ไปวิเคราะห์ด้วยลักษณะโครงสร้างภายในโดยอาศัยเทคนิค TEM เพื่อตรวจยืนยันชนิดของอนุภาค และขนาดที่แน่นอน โดยเลือกตัวอย่างผลิตภัณฑ์ที่สั่งเคราะห์ได้ที่ตำแหน่งกลางหัวค้อน ไฟโรไอลซิส 850 องศาเซลเซียส สัดส่วนโดยไมลของกลีเซอรอลต่อเฟอร์โรซีนเป็น 5 ต่อ 1 อัตราการไหลของก๊าซาร์กอนเป็น 50 มิลลิลิตรต่อนาที พบร่วมหัวค้อนระดับนาโนเมตรที่พบจากการวิเคราะห์ด้วยเทคนิค SEM นั้น คือหัวค้อนรับอนระดับนาโนเมตรเนื่องจากพบว่าภายในมีลักษณะกลวง โดยหัวค้อนรับอนระดับนาโนเมตรที่สั่งเคราะห์ได้นั้นมีขนาดเส้นผ่านศูนย์กลางประมาณ 20-40 นาโนเมตร ดังรูปที่ 4.9 นอกจากนั้นภายในหัวค้อนรับอนระดับนาโนเมตรยังพบอนุภาคเหล็กซึ่งเป็นตัวเร่งปฏิกิริยาโลหะที่ได้จากไมลกุลของเฟอร์โรซีนอีกด้วย [12] และเมื่อทำการเพิ่มกำลังขยายของเครื่อง TEM พบร่วมอนุภาคที่ได้นั้นเป็นอนุภาคหัวค้อนรับอนระดับนาโนเมตรที่มีผนังหลายชั้น โดยมีจำนวนชั้นของผนังหัวค้อนประมาณ 10-30 ชั้น ดังรูปที่ 4.10 เมื่อตรวจสอบโดยใช้กำลังขยายสูงขึ้น พบร่วมหัวค้อนรับอนระดับนาโนเมตรที่มีค่าประมาณ 1.4 อังสตروم ดังแสดงในรูปที่ 4.11

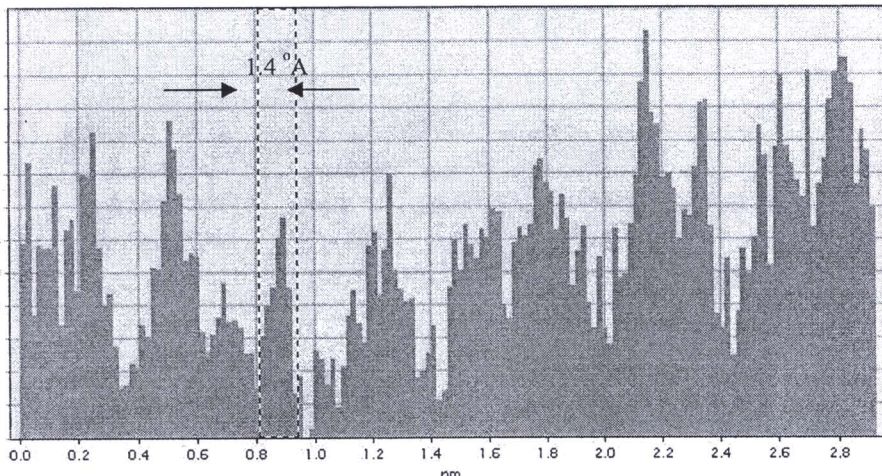


รูปที่ 4.9 TEM ไมโครกราฟของ ห่อการ์บอนระดับนาโนเมตรที่สังเคราะห์ได้ ที่คำแนะนำกลาง ห่อ ที่อุณหภูมิ 850 องศาเซลเซียสอัตราส่วนโดยไม่ระบุว่าจะกลีเซอรอลต่อเฟอร์โรซีนเป็น 5 ต่อ 1 อัตราการไหลดัก้าช อาร์กอนเป็น 50 มิลลิลิตรต่อนาที





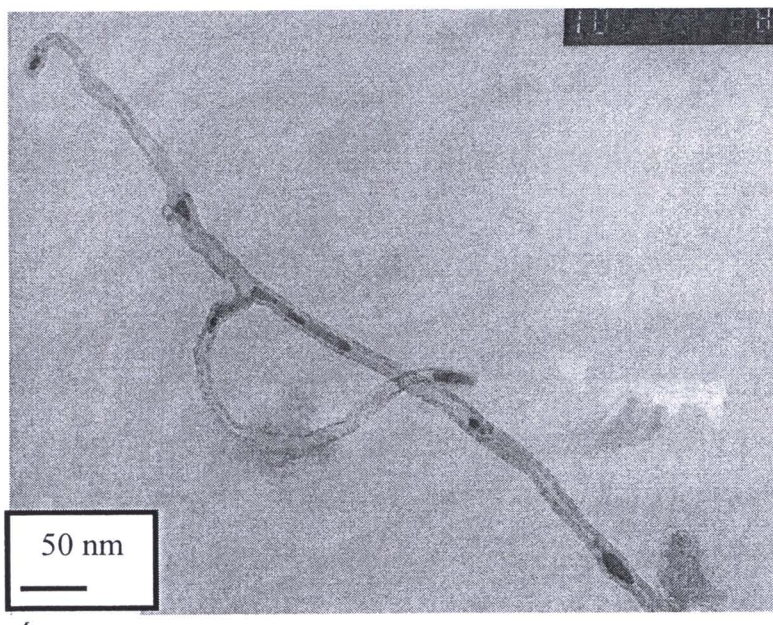
รูปที่ 4.10 TEM ในโครงการของกำลังขยายสูงแสดงชั้นผนังของห่อคาร์บอนระดับนาโนเมตร ที่อุณหภูมิ 850 องศาเซลเซียส อัตราส่วนโดยไม่ระบุว่างกีเซอรอลต่อเฟอร์โรซีนเป็น 5 ต่อ 1 อัตราการไอลก้าเซาร์กอนเป็น 50 มิลลิลิตรต่อนาที



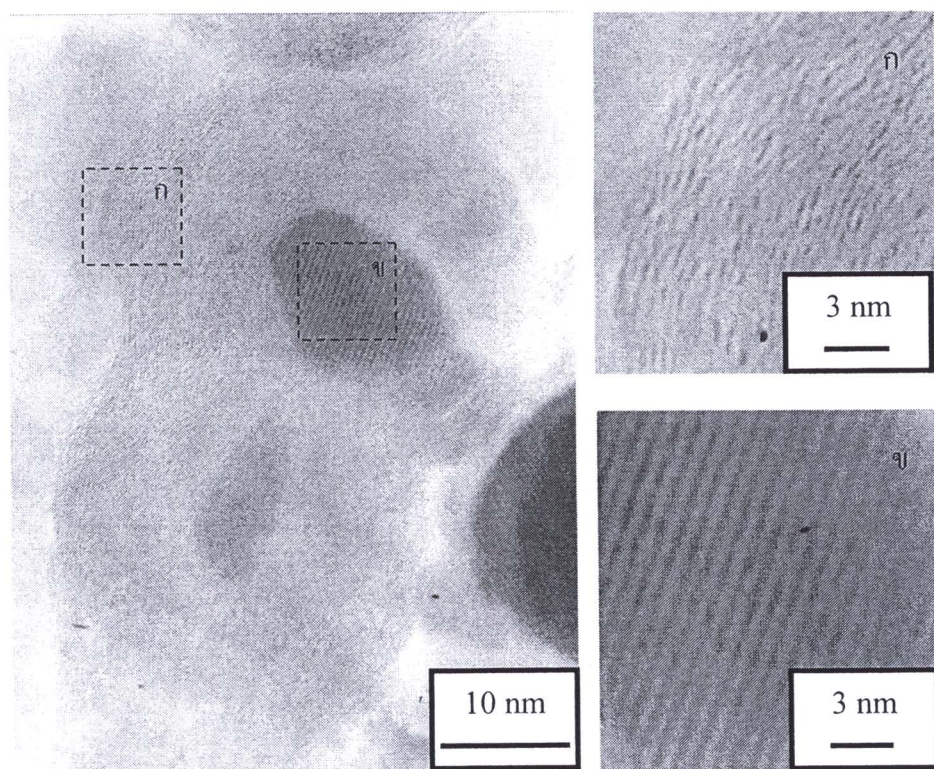
รูปที่ 4.11 ความหนาของแต่ละชั้นผังของท่อคาร์บอนระดับนาโนเมตร

เมื่อทำการวิเคราะห์อนุภาคท่อคาร์บอนระดับนาโนเมตรที่ได้จากการไฟโรไลซิสที่ 1000 องศาเซลเซียส พบร่วมกันท่อคาร์บอนระดับนาโนเมตรซึ่งสังเคราะห์ และเก็บได้จากภายในท่อ มีอนุภาคเหล็กอยู่ชั้นเดียวกับ ผลิตภัณฑ์ที่สังเคราะห์ได้ที่อุณหภูมิ 850 องศาเซลเซียส แต่ท่อคาร์บอนระดับนาโนเมตรนี้มีขนาดเส้นผ่านศูนย์กลางที่เล็กกว่า และมีความคงทนมากกว่า โดยมีขนาดเส้นผ่านศูนย์กลางประมาณ 20 นาโนเมตร และพบอนุภาคคาร์บอนแบบอัมorphous (Amorphous carbon) เจือปนอยู่จำนวนหนึ่ง ดังแสดงในรูปที่ 4.12

สำหรับอนุภาคคาร์บอนระดับนาโนเมตรที่สังเคราะห์และเก็บรวมได้จากบริเวณปลายท่อ covariance นี้ เมื่อทำการวิเคราะห์ด้วยเทคนิค TEM พบร่วมกันที่สังเคราะห์ได้นี้ เป็นอนุภาคแคปซูลคาร์บอนระดับนาโนเมตรดังรูปที่ 4.13 โดยอนุภาคจะมีแผ่นกราฟีน (Graphene sheet) ห่อหุ้มน้ำโดยแคปซูลคาร์บอนระดับนาโนเมตรที่พับนั้นมีขนาดเส้นผ่านศูนย์กลางประมาณ 50 นาโนเมตร มีชั้นผังกราฟีนการบันทุณภาพประมาณ 50 ชั้น และพบว่าอนุภาคของเหล็กที่ถูกห่อหุ้มนั้นมีขนาดประมาณ 20-30 นาโนเมตร และมีการจัดเรียงตัวอย่างเป็นระเบียบ [14] ทั้งนี้สามารถวัดระยะการจัดเรียงเรียงตัวของโมเลกุลเหล็กได้ประมาณ 6 อังสตรอม (จากการพ่อ TEM กำลังขยายสูง)

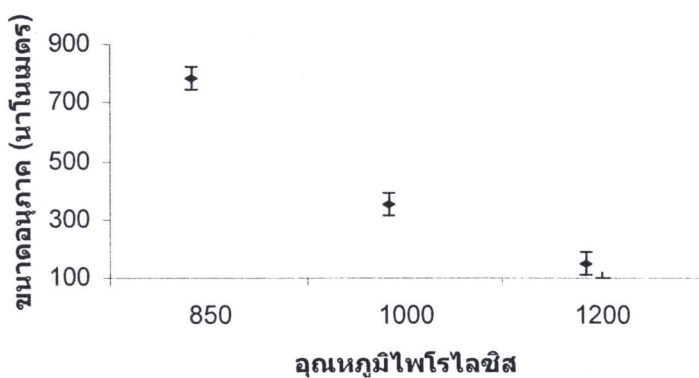


รูปที่ 4.12 TEM ท่อคาร์บอนระดับนาโนเมตรที่สังเคราะห์ได้ ที่ดำเนินการท่อที่อุณหภูมิ 1000 องศา เชลเซียส อัตราส่วนโดยไม่ระบุว่างก็ใช้อลต่อเฟอร์โรซีนเป็น 5 ต่อ 1 อัตราการไอลก้าชาร์กอนเป็น 50 มิลลิลิตรต่อนาที

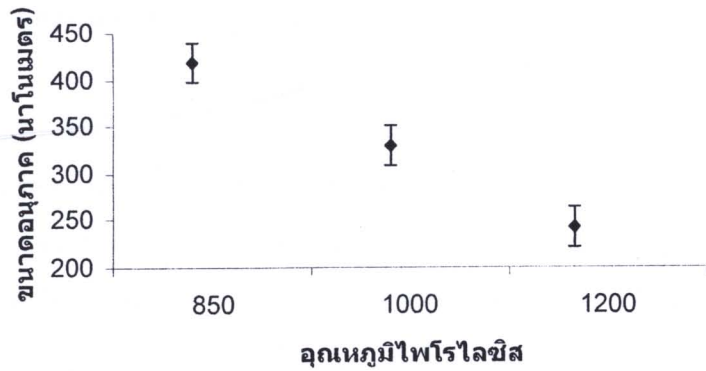


รูปที่ 4.13 TEM ไมโครกราฟของแคปซูลการ์บอนระดับนาโนเมตรที่สังเคราะห์ได้ ที่ดำเนินการท่อที่อุณหภูมิ 850 องศาเชลเซียสอัตราส่วนโดยไม่ระบุว่างก็ใช้อลต่อเฟอร์โรซีนเป็น 5 ต่อ 1 อัตราการไอลก้าชาร์กอนเป็น 50 มิลลิลิตรต่อนาที

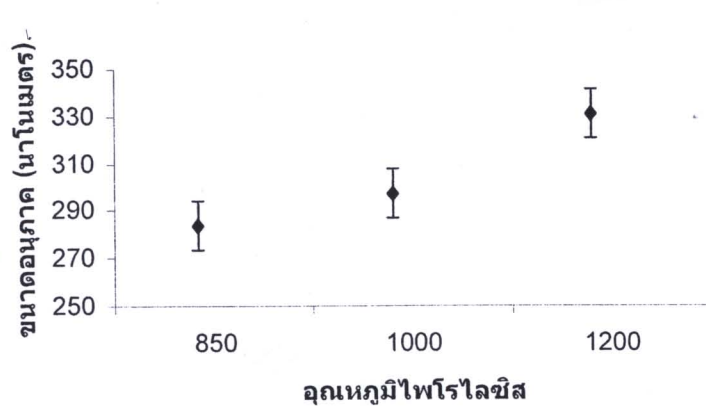
เมื่อนำอนุภาคที่คาร์บอนระดับนาโนเมตรที่สังเคราะห์ได้ไปตรวจวิเคราะห์ขนาดด้วยเทคนิค DLS เพื่อเปรียบเทียบขนาดของอนุภาคที่สังเคราะห์ได้ที่อุณหภูมิการไฟโรไอลซิสต่างๆ กันพบว่า เมื่ออุณหภูมิที่ใช้ในการไฟโรไอลซิสเพิ่มสูงขึ้น จะส่งผลให้ขนาดของอนุภาคคาร์บอนระดับนาโนเมตรบริเวณต้นท่อและกลางท่อ มีขนาดเล็กลง ดังกราฟรูปที่ 4.14 และกราฟรูปที่ 4.15 แต่อนุภาคที่พบบริเวณปลายท่อคือทั้งหมดมีขนาดใหญ่ขึ้นเมื่อทำการเพิ่มอุณหภูมิการไฟโรไอลซิส ทั้งนี้เนื่องจากการเพิ่มอุณหภูมิเป็นการเพิ่มอัตราการแพร่ของกลุ่มอะตอมคาร์บอนสู่ตัวเร่งปฏิกิริยาโลหะทำให้อัตราการแพร่ผ่านสูงกว่าอัตราการแพร่ที่บริเวณพื้นผิวของตัวเร่งปฏิกิริยาโลหะ ส่งผลให้ท่อคาร์บอนระดับนาโนเมตรที่สังเคราะห์ได้มีขนาดเส้นผ่านศูนย์กลางที่เล็กลง ลดความล้องกันการสังเกตจากภาพถ่าย TEM ซึ่งพบว่าการเพิ่มอุณหภูมิจะทำให้ขนาดและความเป็นระเบียบของท่อคาร์บอนระดับนาโนเมตรลดลง [16] ในทางกลับกัน ที่บริเวณปลายท่อคือที่เป็นบริเวณที่มีอุณหภูมิต่ำลงสูงขึ้น บริเวณกลุ่มคาร์บอนอะตอมที่หลงเหลือจากการทำปฏิกิริยาบริเวณต้นท่อและกลางท่อ จึงไม่สามารถลดขนาดของอนุภาคบริเวณปลายท่อคือที่มีขนาดใหญ่ขึ้น ส่งผลให้ผลิตภัณฑ์ตรงตำแหน่งปลายท่อคือที่มีขนาดใหญ่ขึ้น ดังแสดงไว้ในกราฟรูปที่ 4.16



รูปที่ 4.14 ขนาดของอนุภาคบริเวณต้นท่อคือที่ต่ออุณหภูมิไฟโรไอลซิส



รูปที่ 4.15 ขนาดของอนุภาคบริเวณกลางท่อ covariance ต่ออุณหภูมิไฟโรไลซิส

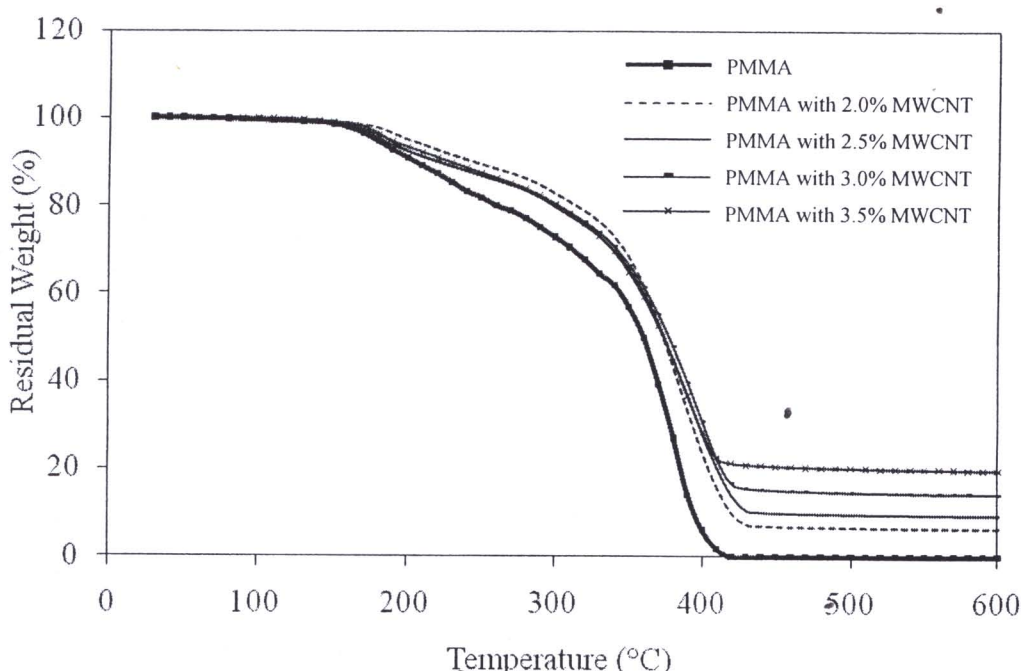


รูปที่ 4.16 ขนาดของอนุภาคบริเวณปลายท่อ covariance ต่ออุณหภูมิไฟโรไลซิส

เมื่อสังเกตขนาดอนุภาคที่ได้จากการวิเคราะห์ด้วยเทคนิค DLS พมว่าขนาดที่วิเคราะห์ได้มีขนาดที่ใหญ่กว่าขนาดที่สังเกตได้จากการวิเคราะห์ด้วย SEM และ TEM ทั้งนี้เป็นผลสืบเนื่องจากเทคนิค DLS นั้นทำการวัดขนาดอนุภาคโดยมีสมมุติฐานให้รูปร่างของอนุภาคที่วัดมีลักษณะเป็นทรงกลม การสมมุติให้อนุภาคท่อการ์บอนระดับนาโนเมตรซึ่งมีลักษณะเป็นทรงกระบอก ที่มีขนาดความยาวมากกว่าขนาดเส้นผ่านศูนย์กลางประมาณ 300 เท่า คือมีขนาดความยาวของท่อประมาณ 10-15 ไมโครเมตรแต่เส้นผ่านศูนย์กลางของท่อ มีค่าเพียง 30 นาโนเมตรเท่านั้น ส่งผลให้เส้นผ่านศูนย์กลางของอนุภาคทรงกลมเทียบเท่าที่ใหญ่กว่าเส้นผ่านศูนย์กลางท่อการ์บอนระดับนาโนเมตรที่ได้จากการวิเคราะห์ SEM และ TEM

#### 4.2 คุณสมบัติด้านความคงทนต่อความร้อนของพอลิเมอร์ประกอบแต่ง

การศึกษาคุณสมบัติด้านความคงทนต่อความร้อนของพอลิเมอร์ประกอบแต่งด้วย TGA ภายใต้สภาวะบรรยายกาศในโตรเจน ในช่วงอุณหภูมิ 40 ถึง 600 องศาเซลเซียส ด้วยอัตราการให้ความร้อนคงที่ 10 องศาเซลเซียสต่อนาที แสดงในรูปที่ 4.17 พบว่าพอลิเมอร์บีริสุทธิ์และพอลิเมอร์ประกอบแต่งจะเริ่มสลายเสียน้ำหนักที่อุณหภูมิเดียวกัน แต่อุณหภูมิที่เกิดการสลายเสียน้ำหนักสูงสุดแตกต่างกัน โดยพอลิเมอร์บีริสุทธิ์จะสลายเสียน้ำหนักสูงสุดที่อุณหภูมิ 360 องศาเซลเซียส ในขณะที่พอลิเมอร์ประกอบแต่งจะสลายเสียน้ำหนักสูงสุดที่อุณหภูมิ 390 องศาเซลเซียส จากการศึกษาเบื้องต้นพบว่าการเติมท่อคาร์บอนระดับนาโนเมตรลงไปในเมทริกซ์ของพอลิเมอร์จะช่วยเพิ่มความคงทนต่อความร้อนของพอลิเมอร์บีริสุทธิ์ได้ นอกจากนี้ยังพบว่าปริมาณของท่อคาร์บอนระดับนาโนเมตร 2 ถึง 3.5 เปอร์เซ็นต์โดยน้ำหนัก ที่เติมลงไปในเมทริกซ์ของพอลิเมอร์ในงานวิจัยนี้ช่วยเพิ่มความคงทนต่อความร้อนของพอลิเมอร์บีริสุทธิ์เท่า ๆ กัน



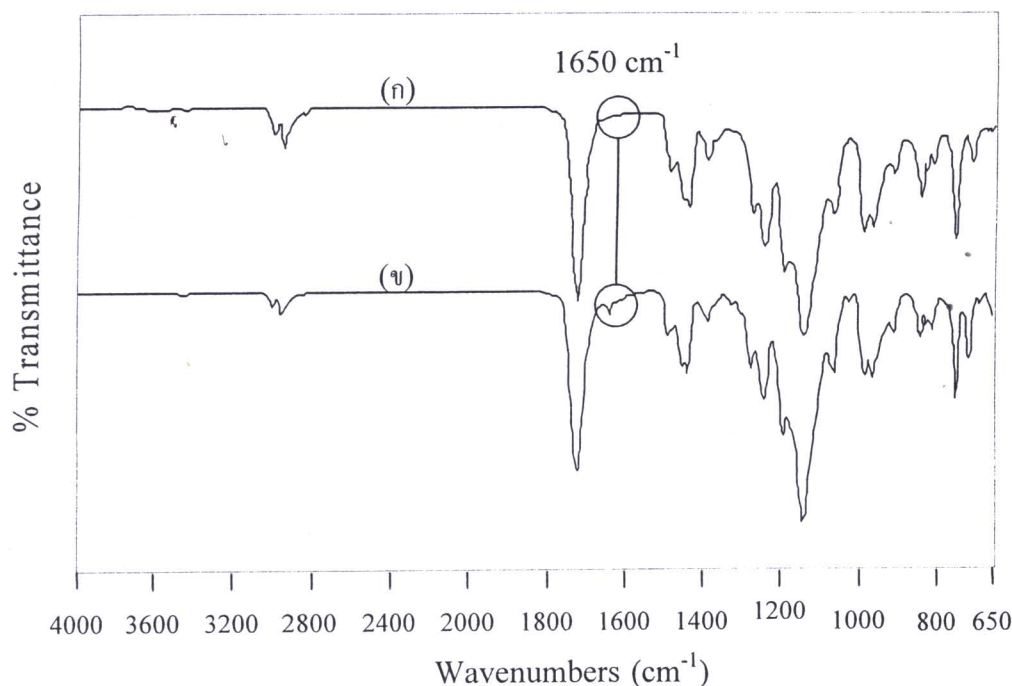
รูปที่ 4.17 การวิเคราะห์คุณสมบัติด้านความคงทนต่อความร้อนของพอลิเมอร์ประกอบแต่งด้วย TGA

ทั้งนี้เป็นที่น่าสังเกตว่าปริมาณกาก (Residue) ที่เหลือค้างหลังจากการวิเคราะห์ด้วย TGA นั้นยังมีค่าสูงถึงเกือบร้อยละ 20 โดยน้ำหนักนั้น ในขณะนี้กำลังได้ทำการศึกษาถึงเส้นริบภาพของพอลิเมทิลเมตัฟีเลท และความถูกต้องของเครื่องมือวิเคราะห์ว่ามีผลต่อปริมาณกากที่เหลือหรือไม่

ซึ่งโดยหลักการแล้ว หากพอลิเมอร์ซึ่งมีสเตียรภาพทางความร้อนต่ำกว่าท่อค่าน์บอนระดับนาโน เมตร เมื่อถูกให้ความร้อนจนถลวยตัวไป ปริมาณการที่เหลือจะมีมวลน้อยกว่าหรือเท่ากับมวลของท่อค่าน์บอนระดับนาโนเมตรที่เดิมเข้าไป แต่ทั้งนี้มีความเป็นไปได้ที่พอลิเมอร์อาจจะถลวยตัวแล้วเปลี่ยนสภาพเป็นคาร์บอนที่มีความเสถียรสูงจึงส่งผลให้ปริมาณการที่เหลือยังคงมีอยู่มาก

#### 4.3 พันธะเคมีของวัสดุประกอบแต่ง

การวิเคราะห์ห้องค์ประกอบและโครงสร้างของวัสดุประกอบแต่งของท่อค่าน์บอนระดับนาโนเมตรและพอลิเมทธิลเมต๊ะไครเลทด้วย FTIR แสดงในรูปที่ 4.18

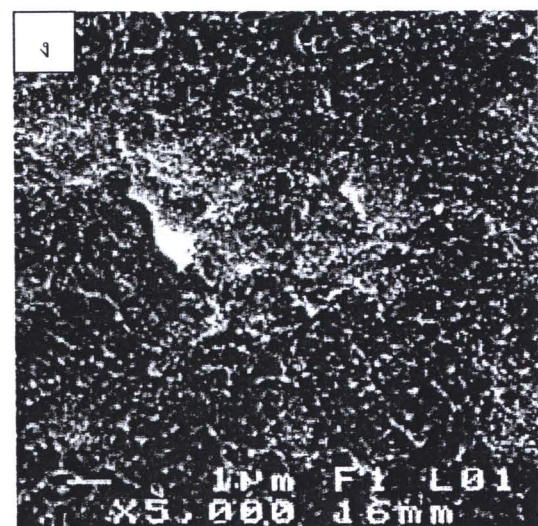
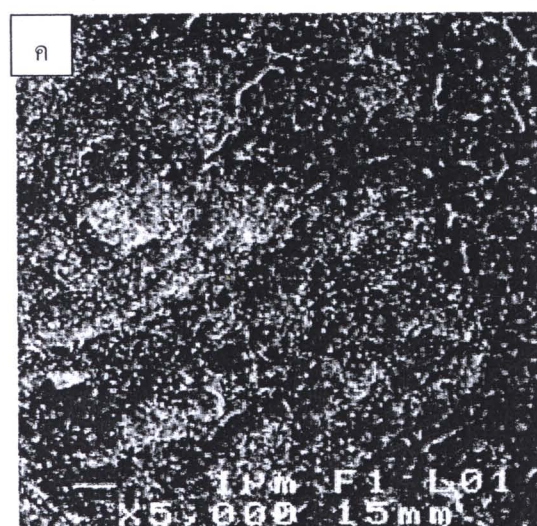
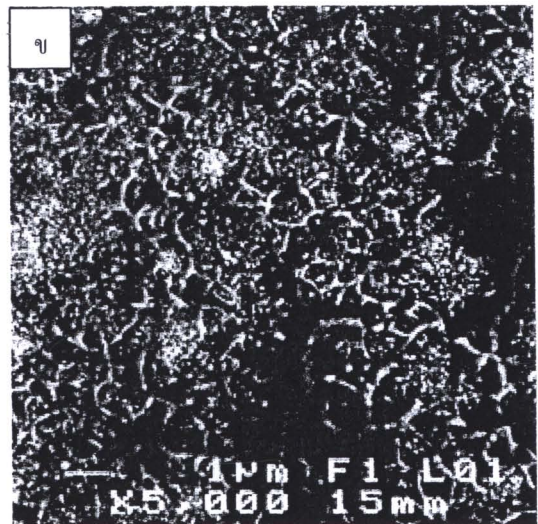
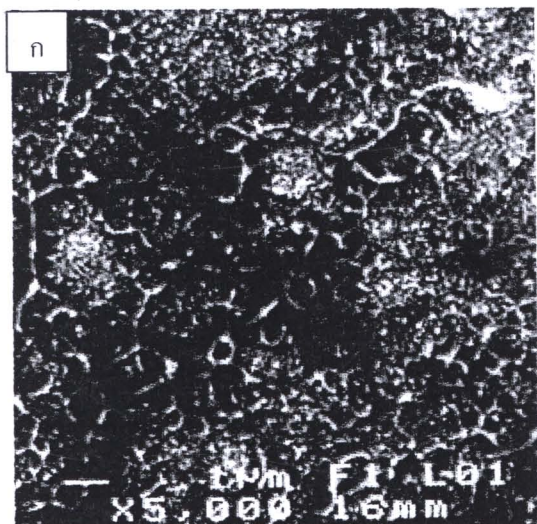


รูปที่ 4.18 การวิเคราะห์ห้องค์ประกอบและโครงสร้างด้วย FTIR; (g) พอลิเมทธิลเมต๊ะไครเลทบริสุทธิ์ (h) พอลิเมทธิลเมต๊ะไครเลทประกอบแต่งด้วยท่อค่าน์บอน 3.5 เปอร์เซ็นต์โดยน้ำหนัก

รูปที่ 4.18 แสดงให้เห็นพีกของคาร์บอน-คาร์บอนที่ตำแหน่ง 1650 cm<sup>-1</sup> เนื่องจากในการสร้างพันธะของท่อค่าน์บอนระดับนาโนเมตรและพอลิเมทธิลเมต๊ะไครเลท ซึ่งเกิดขึ้นระหว่างการเกิดปฏิกิริยาพอลิเมอร์ไไซเซชัน ท่อค่าน์บอนระดับนาโนเมตรจะถูกกระตื้นด้วยเบนโซอล เปอร์ออกไซด์จนกระทั้งเกิดพันธะ π ขึ้น พันธะดังกล่าวจะเชื่อมพันธะอย่างแข็งแรงกับเนทริกซ์ของพอลิเมทธิลเมต๊ะไครเลท ส่งผลให้เกิดการปรับปรุงคุณสมบัติทางด้านกายภาพของพอลิเมอร์ประกอบแต่ง

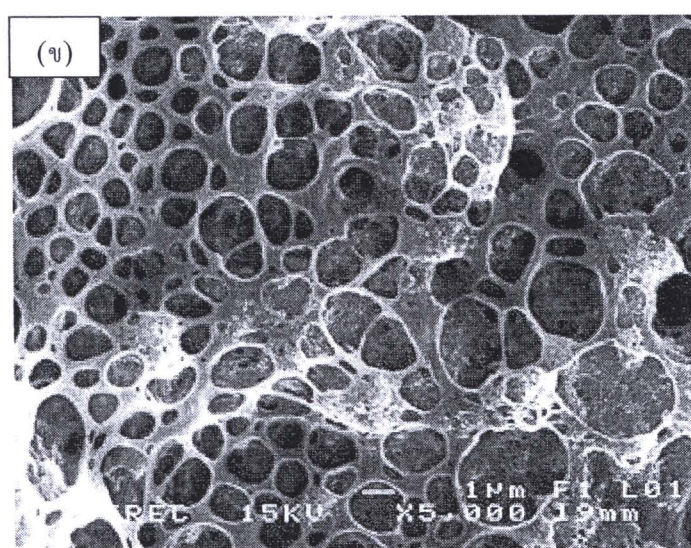
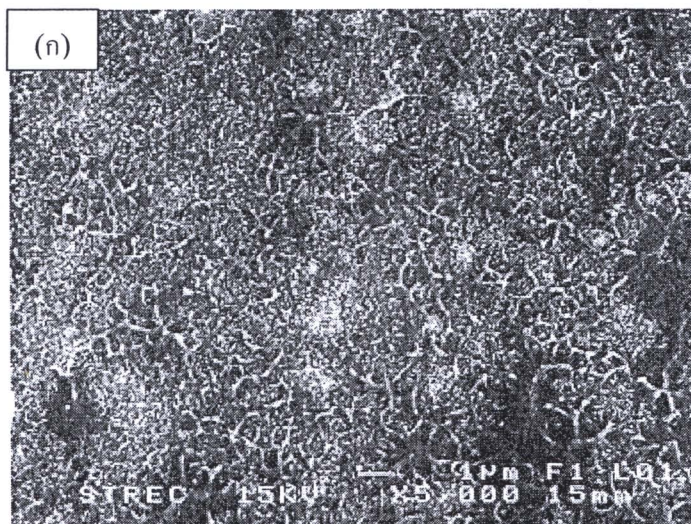
#### 4.4 การจัดเรียงและกระจายตัวของท่อคาร์บอนในแม่ทริกซ์ของพอลิเมทิลเมตะไครเลท

จากการวิเคราะห์การจัดเรียง และกระจายตัวของท่อคาร์บอนระดับนาโนเมตรที่สังเคราะห์ได้ในแม่ทริกซ์ของพอลิเมทิลเมตะไครเลทด้วย SEM และในรูปที่ 4.19 (ก)-(ง) จะสังเกตเห็นว่า มีการกระจายตัวอย่างสม่ำเสมอของท่อคาร์บอนระดับนาโนเมตรในแม่ทริกซ์ของพอลิเมทิลเมตะไครเลท จากการทดลองเพิ่มปริมาณท่อคาร์บอนระดับนาโนเมตรในแม่ทริกซ์พบว่า เมื่อเพิ่มปริมาณของท่อคาร์บอนระดับนาโนเมตรเข้าไปในแม่ทริกซ์ของพอลิเมอร์ การกระจายตัวของท่อคาร์บอนระดับนาโนเมตรจะมีความสม่ำเสมอมากขึ้น อย่างไรก็ตาม เมื่อปริมาณของท่อคาร์บอนระดับนาโนเมตรในแม่ทริกซ์ของพอลิเมอร์สูงกว่า 3.0 เปอร์เซ็นต์โดยน้ำหนัก จะสังเกตไม่เห็นถึงความแตกต่างของการกระจายตัวของท่อคาร์บอนระดับนาโนเมตร และในรูปที่ 4.19 (ค) และ (ง)



รูปที่ 4.19 การวิเคราะห์การจัดเรียงและกระจายตัวของท่อคาร์บอนระดับนาโนเมตรในเมทริกซ์ของพอลิเมทิลเมตะไครเลท; (ก) 2.0 เปอร์เซ็นต์ (ข) 2.5 เปอร์เซ็นต์ (ค) 3.0 เปอร์เซ็นต์ (ง) 3.5 เปอร์เซ็นต์ของท่อคาร์บอนระดับนาโนเมตรโดยน้ำหนัก

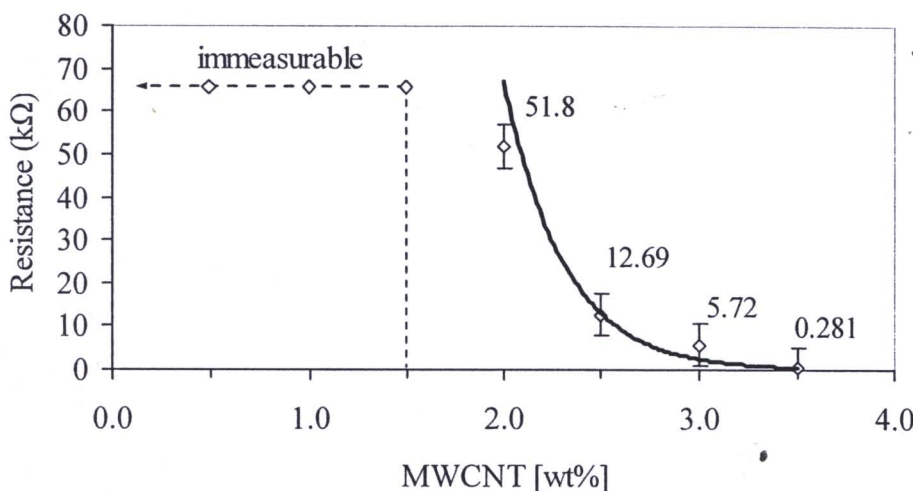
การเกิด Swelling ของเมทริกซ์ของพอลิเมอร์เกิดจากการแทรกซึมของโนเมเลกุลของก๊าซเข้าไปในเมทริกซ์ของพอลิเมอร์ การแทรกซึมของโนเมเลกุลของก๊าซจะขึ้นกับคุณสมบัติด้านการแพร่และการละลายของโนเมเลกุลของก๊าซในเมทริกซ์ของพอลิเมอร์ การแทรกซึมดังกล่าวส่งผลทำให้เมทริกซ์ของพอลิเมอร์เกิดการบวมขึ้น [21-23] งานวิจัยนี้พบว่า ไอของสารประกอบอินทรีย์ระเหยง่ายส่งผลต่อการเกิด Swelling ของพอลิเมอร์ประกอบแต่ง ในรูปที่ 4.20 เปรียบเทียบโครงสร้างของพอลิเมอร์ประกอบแต่งที่ไม่ได้สัมผัส (ก) และสัมผัส (ข) กับ ไอของโทลูอีนความเข้มข้น 1000 ppm เป็นเวลา 5 นาที ซึ่งพบว่าพอลิเมอร์ประกอบแต่งที่สัมผัสกับ ไอของโทลูอีนจะบวมขึ้นอย่างชัดเจน



รูปที่ 4.20 การเกิด Swelling ของพอลิเมอร์ประกอบแต่งที่มีปริมาณห่อการ์บอนระดับนาโนเมตร 2.0 เมตรเซ็นต์โดยน้ำหนัก

#### 4.6 การนำไฟฟ้าของพอลิเมอร์ประกอบแต่ง

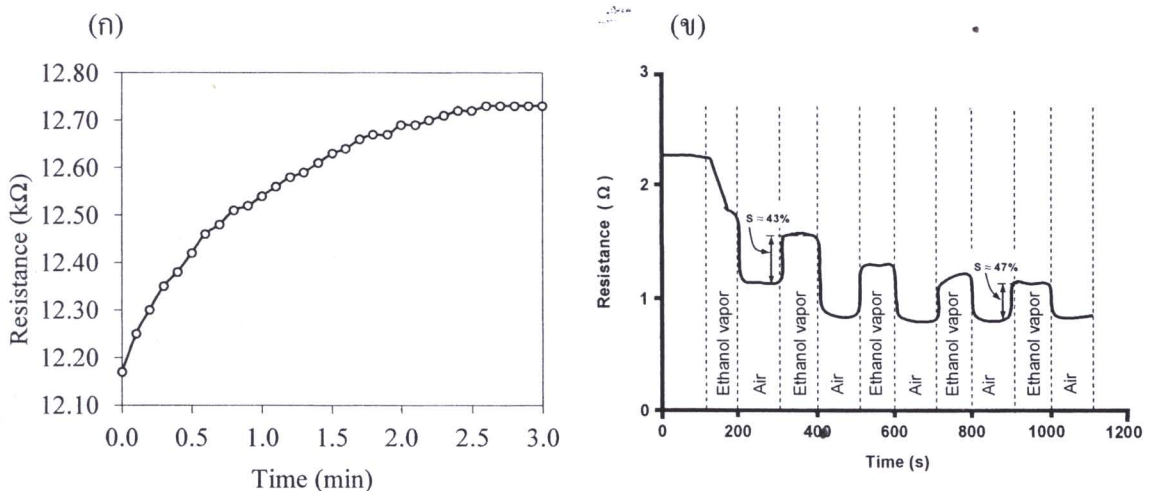
โดยทั่วไปแล้วพอลิเมอร์จะเป็นจุดไฟฟ้า แต่เมื่อเติมอนุภาคคาร์บอนระดับนาโนเมตรเข้าไปในเมทริกซ์พอลิเมอร์ อนุภาคดังกล่าวจะไปเพิ่มความสามารถในการนำไฟฟ้าให้กับพอลิเมอร์ขึ้น ในงานวิจัยนี้จะวัดค่าความต้านทานของพอลิเมอร์ประกอบแต่งด้วยดิจิตอลมัลติมิเตอร์ รูปที่ 4.21 แสดงความสัมพันธ์ระหว่างความต้านทานไฟฟ้าของพอลิเมอร์ประกอบแต่งของท่อคาร์บอนระดับนาโนเมตรและพอลิเมทิลเมตัลไครเลทกับปริมาณของท่อคาร์บอนระดับนาโนเมตรที่เติมลงไปในเมทริกซ์ของพอลิเมอร์ พบว่าความต้านทานไฟฟ้าของพอลิเมอร์ประกอบแต่งลดลงเมื่อเพิ่มปริมาณท่อคาร์บอนระดับนาโนเมตรเข้าไปในเมทริกซ์ของพอลิเมอร์ [23-24] ในงานวิจัยนี้สามารถวัดค่าความต้านทานไฟฟ้าของพอลิเมอร์ประกอบแต่งที่เริ่มลดลงได้เมื่อเติมปริมาณของท่อคาร์บอนระดับนาโนเมตรมากกว่า 2.0 เปอร์เซ็นต์โดยน้ำหนัก ในขณะที่ปริมาณของท่อคาร์บอนต่ำกว่านี้จะไม่สามารถวัดค่าความต้านทานไฟฟ้าได้อยู่ที่ 3.5 เปอร์เซ็นต์โดยน้ำหนัก



รูปที่ 4.21 ความสัมพันธ์ระหว่างความต้านทานไฟฟ้าของพอลิเมอร์ประกอบแต่งกับปริมาณของท่อคาร์บอนระดับนาโนเมตรในเมทริกซ์ของพอลิเมอร์

#### 4.7 การตรวจวัดก้าชของตัวตรวจวัดก้าช

โดยหลักการ ตัวตรวจวัดก้าชที่พัฒนาขึ้นในงานวิจัยนี้สามารถใช้ตรวจวัดไอของสารประกอบอินทรีย์ระเหยง่ายได้หลายชนิด อาทิเช่น โทลูอีน เอทานอล เมทานอล อะซีโตน ไซโคลເເກුເශෙນ ทั้งนี้เนื่องจากตัวตรวจวัดก้าชที่ทำจากพอลิเมอร์ประกอบแต่งของห่อคาร์บอนระดับนาโนเมตรและพอลิเมทิลเมตະໄໂຄຣເລທ දიයວັດค່າການປັບປຸງແປງການຕອນສົນທາງໄຟຟ້າມື່ອດູດຂັບກຳຈົດກຳລ່າວ່າ ຮູບທີ 4.22 (ກ) ແສດງກຮົມຕົວຢ່າງຂອງການເພີ່ມຂຶ້ນຂອງຄ່າຄວາມຕ້ານທານໄຟຟ້າຂອງພອລິເມອຣ໌ປະກອບແຕ່ທີ່ມີປົມາລົມທ່ອກາຮົນອະດັບນາໂນເມຕຽ 2.0 ເປົ້ອຮັ້ນຕີໂດຍນໍ້າຫັກເມື່ອສັນຜັກກັບ ໄອຂອງໂທລູອືນຄວາມເຂັ້ມຂຶ້ນ 500 ppm ໃນອາກາສ ອຸນຫຼວມືກົງທີ່ 40 ອົງສາເຊລເຊີຍສ ເຖິງກັບເວລາ ໃນທຳນອງເຄີຍກັນ ຮູບທີ 4.22 (ຂ) ແສດງກຮົມຕົວຢ່າງຂອງການເພີ່ມແລະລົດຂອງຄ່າຄວາມຕ້ານທານໄຟຟ້າຂອງຕັ້ງຕ່າງໆທີ່ປະດີຢູ່ຈາກພອລິເມອຣ໌ປະກອບແຕ່ທີ່ມີທ່ອກາຮົນອະດັບນາໂນເມຕຽທີ່ໃຊ້ຕັ້ງຕ່າງໆ ໄອຂອງເອຫານອດຄວາມເຂັ້ມຂຶ້ນ 3.4 gmol/L



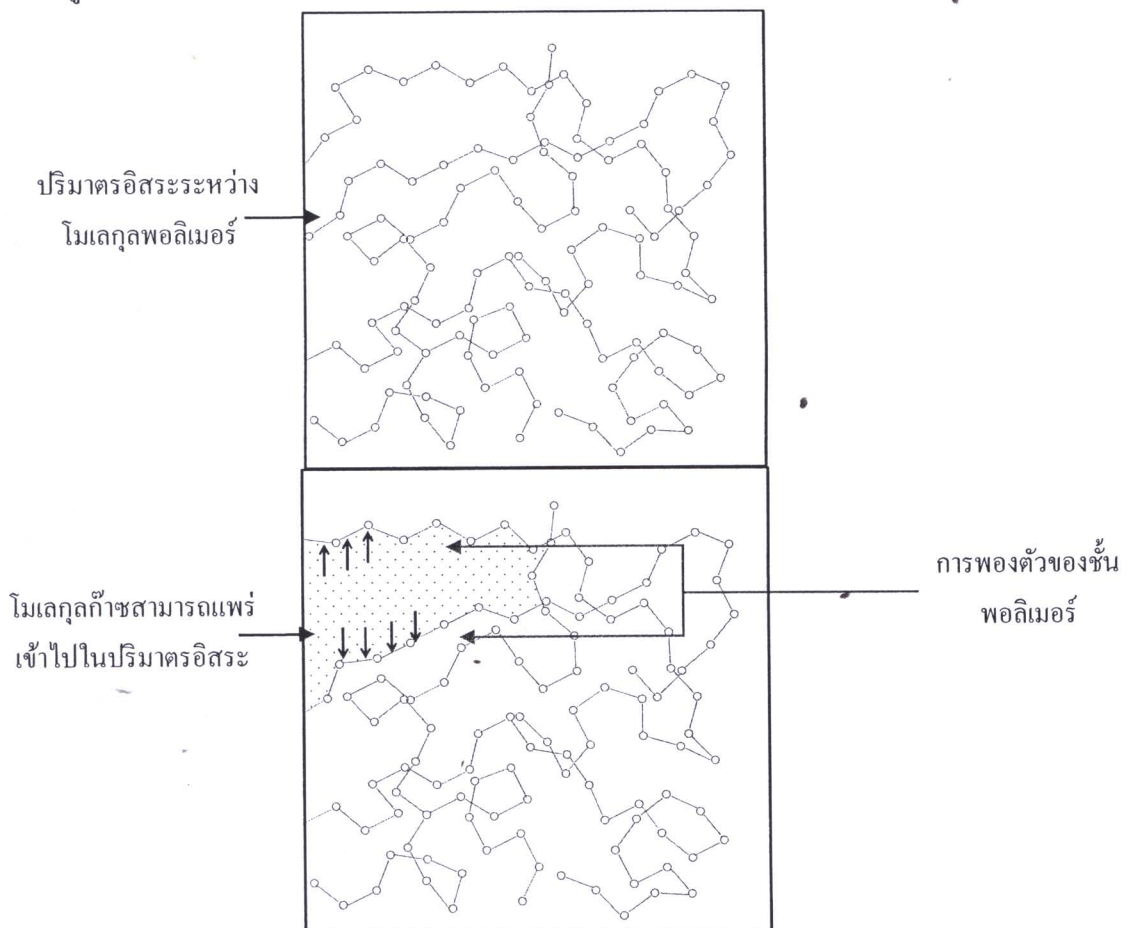
ຮູບທີ່ 4.22 (ກ) ການປັບປຸງແປງຄວາມຕ້ານທານໄຟຟ້າຂອງຕັ້ງຕ່າງໆທີ່ປະດີຢູ່ຈາກພອລິເມອຣ໌ປະກອບແຕ່ທີ່ມີປົມາລົມທ່ອກາຮົນອະດັບນາໂນເມຕຽ 2.5 ເປົ້ອຮັ້ນຕີໂດຍນໍ້າຫັກ ເມື່ອສັນຜັກກັບ ໄອຂອງໂທລູອືນຄວາມເຂັ້ມຂຶ້ນ 500 ppm ທີ່ອຸນຫຼວມືກົງທີ່ 40 ອົງສາເຊລເຊີຍສ ໃນອາກາສ ແລະ (ຂ) ການປັບປຸງແປງຄວາມຕ້ານທານໄຟຟ້າຂອງຕັ້ງຕ່າງໆທີ່ປະດີຢູ່ຈາກພອລິເມອຣ໌ປະກອບແຕ່ທີ່ທ່ອກາຮົນອະດັບນາໂນເມຕຽ ເມື່ອສັນຜັກກັບ ໄອຂອງເອຫານອດຄວາມເຂັ້ມຂຶ້ນ 3.4 gmol/L

ການເພີ່ມຂຶ້ນຂອງຄ່າຄວາມຕ້ານທານໄຟຟ້າຂອງພອລິເມອຣ໌ປະກອບແຕ່ທີ່ເມື່ອສັນຜັກກັບ ໄອຂອງສາරປະກອບອີນທີ່ຮະເໝາຍງ່າຍ ສາມາຄອບທີ່ນາຍໄດ້ຈາກການເກີດພອງຕ້າວ (Swelling) ຂອງເມທິກູ້ຂອງ

พอลิเมอร์ [21] ซึ่งเกี่ยวข้องกับปัจจัยของการแทรกซึม (Permeation) และการปฏิสัมพันธ์ระหว่างพอลิเมอร์กับตัวทำลาย (Polymer-solvent interaction) เช่น ก๊าซหรือไอของสารระเหย [26-28]

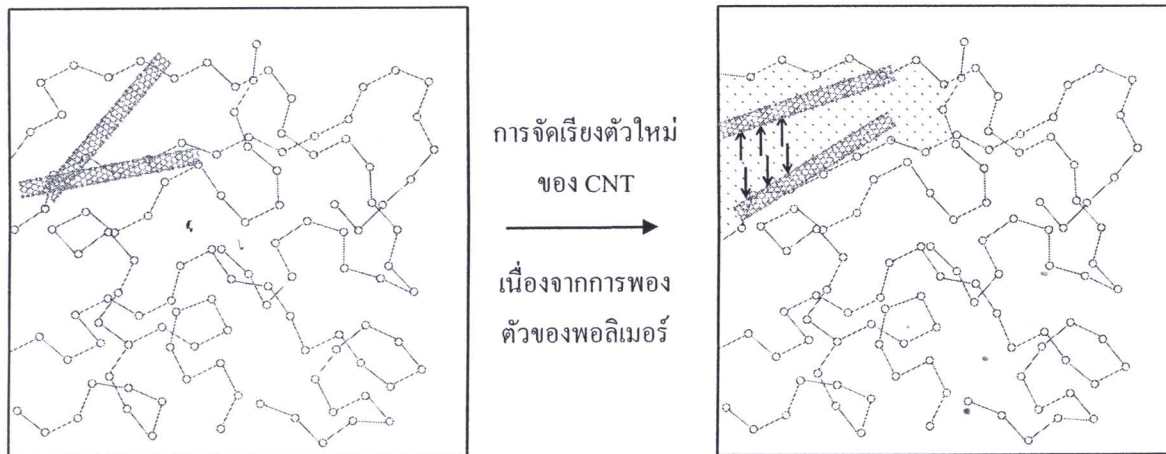
การแทรกซึมของไอของสารประกอบอินทรีย์ระเหยเข้าไปในเมทริกซ์ของพอลิเมอร์ เป็นปัจจัยที่ส่งผลต่อการเปลี่ยนแปลงค่าความต้านทานไฟฟ้าของพอลิเมอร์ประกอบแต่งเป็นอย่างมาก ซึ่งถูกนิยามด้วยอัตราที่ไอของสารระเหยผ่านเข้าไปในเมทริกซ์ของพอลิเมอร์ กลไกของการแทรกซึมของไอของสารระเหยแบ่งออกเป็น 3 ขั้นตอน คือ (ก) การดูดซับ (Absorption) (ข) การแพร่ (Diffusion) (ค) การรายชับ (Desorption)

ในการผ่านพอลิเมอร์บริสุทธิ์ กลไกของการแทรกซึมของไอของสารระเหยจะมีเพียง 2 ขั้นตอน ได้แก่ การดูดซึมและการแพร่ ซึ่งขั้นตอนการแพร่ มีอัตราช้ากว่าการดูดซึมของไอของสารระเหย ดังนั้นขั้นตอนการแพร่จึงเป็นขั้นกำหนดคัดสรร (Rate determining step) การแพร่ของไอของสารระเหยเข้าไปในช่องว่าง หรือปริมาตรอิสระ (Free volume) ของเมทริกซ์ของพอลิเมอร์จะทำให้เกิดการจัดเรียงสายโซ่ของพอลิเมอร์ใหม่ และเกิดช่องว่างระหว่างสายโซ่ของพอลิเมอร์เพิ่มขึ้น ดังแสดงในรูปที่ 4.23



รูปที่ 4.23 การเกิดปริมาตรอิสระเมื่อมีการแทรกซึมของไอสารระเหยเข้าไปภายในเนื้อพอลิเมอร์

ในการทดลองของโครงการวิจัยนี้ เมื่อนำตัวตรวจวัดก้าชที่ประดิษฐ์จากพอลิเมอร์ประกอบแต่งของท่อค่านบนระดับนาโนเมตร และพอลิเมทธิลเอมตะไครเลทไปสัมผัสดกัน ไอของสารประกอบอินทรีรีระเหยี่ยวนี้ ไอระเหยดังกล่าวจะแพร่เข้าไปในช่องว่างของเมทริกซ์ของพอลิเมอร์ทำให้เกิดการจัดเรียงสายโซ่ใหม่ และทำให้ท่อค่านบนระดับนาโนเมตรที่พอดกันอยู่ถูกผลักให้แยกออกจากกันจนเกิดช่องว่างใหม่ขึ้นดังแสดงในรูปที่ 4.24



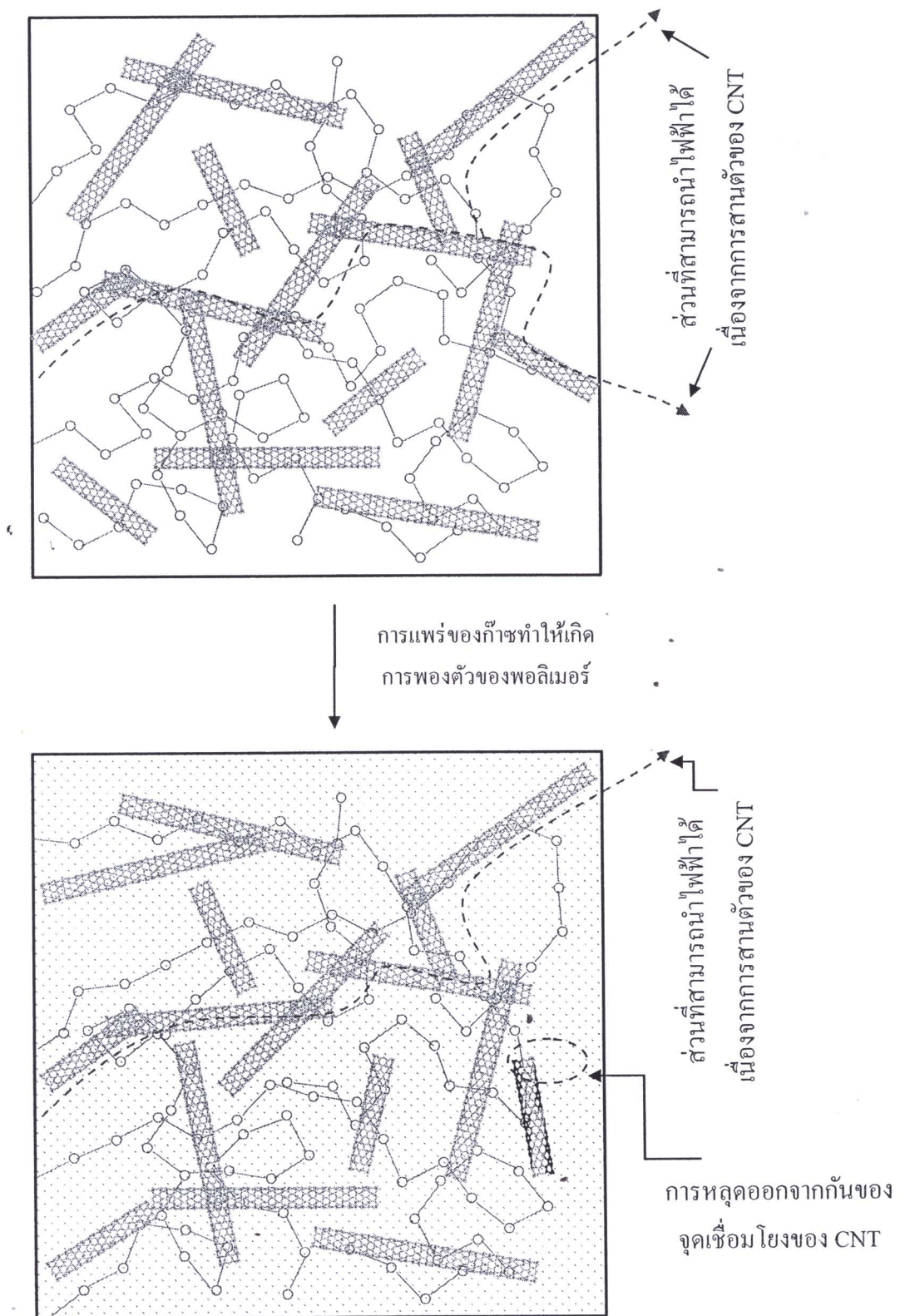
รูปที่ 4.24 การจัดเรียงตัวใหม่ของสายโซ่พอลิเมอร์และท่อค่านบนระดับนาโนเมตรเมื่อไอของสารระเหยแพร่เข้าไปในพอลิเมอร์ประกอบแต่ง

จากผลการทดลองที่ได้ ประกอบกับหลักการพื้นฐานที่ได้กล่าวแล้วข้างต้น ในที่นี้ คณะผู้วิจัยได้ใช้รูปที่ 4.25 แสดงแนวความคิดในการจัดเรียงตัวใหม่ของท่อค่านบนระดับนาโนเมตรที่กระจายตัวอยู่ในพอลิเมอร์ประกอบแต่ง เมื่อมีไอสารระเหยแพร่เข้าไปในช่องว่างของพอลิเมอร์ประกอบแต่ง การแพร่ของโมเลกุลของไอของสารอินทรีรีระเหยี่ยดีเข้าไปในเมทริกซ์ของพอลิเมอร์ทำให้พอลิเมอร์เกิดการพองตัว และท่อค่านบนระดับนาโนเมตรเกิดการจัดเรียงตัวใหม่ จากการทดสอบทางด้านไฟฟ้าดังแสดงในรูปที่ 4.20 ค่าความต้านทานไฟฟ้าของพอลิเมอร์ประกอบแต่งเพิ่มขึ้นเมื่อพอลิเมอร์ประกอบแต่งสัมผัสดกัน ไอของโทลูอิน ซึ่งผลดังกล่าวเกิดขึ้นจากไอของสารระเหยที่แพร่เข้าในเมทริกซ์ของพอลิเมอร์ทำลายโครงข่ายของท่อค่านบนระดับนาโนเมตรจนขาดออกจากกัน ทำให้พอลิเมอร์ประกอบแต่งนำไฟฟ้าได้น้อยลง ค่าความต้านทานไฟฟ้าที่วัดได้จากคิด/mol มัลติเมเตอร์จึงสูงขึ้น

การเปลี่ยนแปลงโครงสร้างภายในของพอลิเมอร์ประกอบแต่งภายหลังจากการสัมผัสดกัน ก้าชสั่งผลให้สมบัติทางไฟฟ้าของมันเปลี่ยนแปลงไป การเปลี่ยนแปลงสมบัติทางไฟฟ้านั้นขึ้นอยู่

กับปริมาณ และสมบัติของท่อคาร์บอนระดับนาโนเมตรที่เดินเข้าไปในเมทริกซ์ของพอลิเมอร์ ในโครงการวิจัยนี้ได้แสดงให้เห็นว่า เราสามารถทำการเตรียมตัวตรวจวัดก้าชาจากพอลิเมอร์ประกอบแต่งของท่อคาร์บอนระดับนาโนเมตรที่สังเคราะห์ได้จากการกลีเซอรอลและเฟอร์โรซีน ซึ่งจากการทดสอบพบว่าตัวตรวจวัดก้าชาที่พัฒนาได้มีความสามารถในการตรวจวัดก้าชาได้ดี

องค์ความรู้ที่ได้จากการวิเคราะห์ผลการทดลองต่างๆ ข้างต้น ทำให้แสดงให้เห็นว่าวัสดุประกอบแต่งของพอลิเมธิลเมตัลไครเลทและท่อคาร์บอนระดับนาโนเมตรที่สังเคราะห์ได้ในโครงการวิจัยนี้มีศักยภาพเพียงพอในการนำไปประยุกต์ใช้เป็นตัวตรวจวัดก้าชา ซึ่งเป็น之一ของสารอินทรีย์ระเหยได้ที่กำลังเป็นสาเหตุของมลภาวะที่เกิดจากการร้าวไหลหรือปลดปล่อยออกจากระบบวนการผลิตทางอุตสาหกรรม ซึ่งความสามารถในการตรวจวัดนี้เป็นผลมาจากการปฏิสัมพันธ์ของพอลิเมอร์ และท่อคาร์บอนระดับนาโนเมตรที่มีต่อ之一ของสารระเหยดังกล่าว



รูปที่ 4.25 การจัดเรียงของท่อคาร์บอนระดับนาโนเมตรในพอลิเมอร์ประกอบแต่งเมื่อมีไอของสารอินทรีย์เพร่เข้าไป

